

Оптимизация достоверности считывания квантового состояния оптического кубита в ионе иттербия $^{171}\text{Yb}^+$

Н. В. Семенин^{*+1)}, А. С. Борисенко^{*+}, И. В. Заливако^{*}, И. А. Семериков^{*}, К. Ю. Хабарова^{**+},
Н. Н. Колачевский^{**×}

⁺Московский физико-технический институт
(национальный исследовательский университет), 141701 Долгопрудный, Россия

^{*}Физический институт им. П. Н. Лебедева РАН, 119991 Москва, Россия

[×]Российский квантовый центр, 121205 Москва, Россия

Поступила в редакцию 20 сентября 2021

После переработки 21 сентября 2021 г.

Принята к публикации 22 сентября 2021 г.

Рассмотрена схема детектирования состояния оптического кубита в ионе иттербия $^{171}\text{Yb}^+$, построенная на основе лазерной системы для охлаждения. Получены аналитические выражения для достоверности считывания с учетом засветки. Произведена численная оптимизация параметров эксперимента для достижения минимальной ошибки считывания. Обнаружена верхняя граница достоверности, равная 99.4%, связанная с переходным процессом в начале измерительной процедуры. Приведены характерные значения параметров детектирования, обеспечивающие достаточную близость к максимальному значению.

DOI: 10.31857/S123456782120009X

1. Введение. Прогресс в области создания лазерных источников, более совершенных методов лазерного охлаждения [1–4], а также создания ионных ловушек Пауля с низким уровнем нагрева [5] и возможностью реконфигурации захваченных ионных кристаллов [6] привел к растущему интересу к ультрахолодным ионам как с точки зрения фундаментальной физики, так и прикладных областей. Ионы, например, лежат в основе одних из самых точных оптических атомных часов [7], используются для поиска дрейфа фундаментальных констант и проверки других фундаментальных теорий [8–10], а также являются одной из наиболее перспективных платформ для создания квантовых вычислителей и симуляторов [6, 11–13]. Причиной тому являются ярко выраженные квантовые свойства одиночных ионов, сильное кулоновское взаимодействие захваченных частиц друг с другом, что обеспечивает удобный способ их квантового перепутывания, а также удобство удержания и перемещения заряженных частиц при помощи переменных и статических электрических полей.

Ион $^{171}\text{Yb}^+$ сегодня является одним из наиболее распространенных ионов в области стандартов частоты как микроволнового [14], так и оптическо-

го диапазона [15–17], а также лежит в основе многих прототипов квантовых вычислителей [6, 11]. Это определяется его электронной структурой, в которой присутствует как удобный микроволновый переход на частоте 12.6 ГГц, позволяющий эффективно кодировать квантовую информацию и служить частотной опорой, так и два узких оптических перехода на длинах волн 435 нм (E2) и 467 нм (E3), которые могут служить для тех же целей. При этом, лазерные источники для охлаждения и считывания квантового состояния этого иона, а также для возбуждения указанных выше переходов, являются относительно простыми и доступны коммерчески. С точки зрения квантовых вычислений большинство современных исследователей используют именно микроволновый переход между сверхтонкими компонентами основного состояния иона в качестве кубита, в то время как в области метрологии активно используются как микроволновый, так и оба упомянутых оптических перехода.

Наша группа ведет исследование квадрупольного перехода $^2S_{1/2}(F = 0, m_F = 0) \rightarrow ^2D_{3/2}(F = 2, m_F = 0)$ в ионе $^{171}\text{Yb}^+$ на длине волны 435 нм и имеющего естественную ширину 3 Гц. В частности, был разработан транспортируемый оптический стандарт частоты на данном переходе [17], а также предложено кодирование квантовой информации в

¹⁾e-mail: semeninnv@gmail.com

нем [18] и проведены первые эксперименты по осуществлению однокубитных операций. При этом одной из важных экспериментальных процедур, необходимых как для реализации квантового вычислителя, так и часов, является считывание состояния иона после возбуждения этого перехода [19]. Обычно достоверность считывания оптических кубитов превышает достоверность микроволновых кубитов за счет отсутствия вклада нерезонансных эффектов [20], однако в данном ионе ряд нерезонансных эффектов тем не менее может приводить к дополнительным ошибкам этой операции, что обуславливает важность исследования данного процесса. Достоверность этой операции вносит вклад как в общую достоверность результата выполнения квантового алгоритма в случае квантового компьютера (особенно при наличии в алгоритме промежуточных измерений [21]), так и в стабильность сигнала оптического стандарта частоты.

В данной работе мы теоретически исследуем достоверность процедуры считывания состояния оптического кубита на квадрупольном переходе в ионе $^{171}\text{Yb}^+$ в зависимости от различных параметров эксперимента, таких как эффективность сбора фотонов, время считывания, уровень паразитной засветки, определяем достижимые при разумных параметрах значения ошибок, а также вычисляем фундаментальный предел достоверности этой операции, проистекающий из особенностей процедуры считывания в этом ионе. Нами был расширен формализм исследования достоверности считывания, описанный в [22], что позволило учесть также явления засветки, а также ошибки, возникающие в начальный момент установления равновесной населенности уровней, вносящие существенный вклад в итоговую достоверность.

Полученные результаты верны не только для оптического кубита на ионе иттербия, но и для более сложных методов кодирования квантовой информации, например – оптического кудита [23] на базе квадрупольного перехода в этом ионе. Процедура считывания такого кудита практически идентична считыванию кубита, за исключением того, что она повторяется несколько раз с приложением дополнительных промежуточных лазерных импульсов.

2. Теоретическая модель. Оптический кубит в ионе иттербия основан на квадрупольном оптическом переходе $^2S_{1/2}(F=0) \rightarrow ^2D_{3/2}(F=2)$ с длиной волны 435 нм. Процедура детектирования состояния представлена на схеме уровней (рис. 1). Охлаждающий лазерный пучок с длиной волны 369 нм имеет две частотные компоненты, связывающие сверхтон-

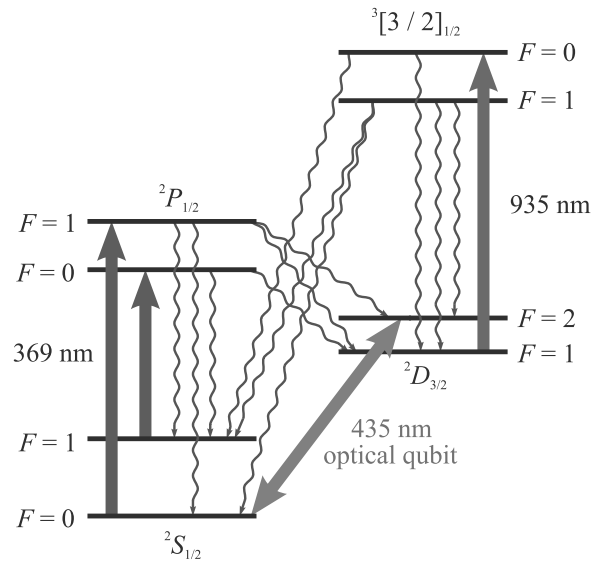


Рис. 1. (Цветной онлайн) Схема детектирования состояния кубита в ионе $^{171}\text{Yb}^+$. Волнистые линии обозначают разрешенные спонтанные переходы

кие уровни состояний $^2S_{1/2}$ и $^2P_{1/2}$. Перекачивающий пучок с длиной волны 935 нм связывает состояния $^2D_{3/2}(F=1)$ и $^3[3/2]_{1/2}(F=0)$ для предотвращения заселения уровня $^2D_{3/2}(F=1)$. Если кубит в начале процедуры считывания находился в состоянии $^2S_{1/2}$, ион начнет эффективно рассеивать фотоны с длиной волны 369 нм. В случае же, если кубит был в состоянии $^2D_{3/2}$, рассеяние происходить не будет. Поэтому нижнее и верхнее состояния кубита называются соответственно светлым (bright) и темным (dark). Фотоны флуоресценции во время этой операции собираются некоторой оптической системой и регистрируются при помощи высокочувствительного детектора, после чего на основании количества обнаруженных фотонов принимается решение о результате измерения. Это чаще всего делается обычным сравнением зарегистрированного количества фотонов с некоторым пороговым значением – дискриминатором.

Дальнейшее описание динамики процесса детектирования основано на формализме скоростных уравнений. Такое рассмотрение справедливо в том случае, когда когерентными эффектами можно пренебречь. В частности, образование лямбда-схем из магнитных подуровней перехода $^2S_{1/2}(F=1) \rightarrow ^2P_{1/2}(F=0)$ приводит в общем случае к возникновению эффекта когерентного пленения населенности между ними и, соответственно, снижению эффективности охлаждения и сигнала флуоресценции. По этой причине в экспериментах с данным ионом он обычно находится в магнитном поле с индукцией около

5 Гс, которое дестабилизирует суперпозиционные состояния и подавляет когерентные эффекты [24, 25]. Будем считать, что это условие выполнено. Помимо этого, примем предположение о равномерном распределении интенсивности волны лазеров по всем поляризациям.

Пусть ион изначально находится в светлом состоянии ${}^2S_{1/2}(F = 0)$. В дальнейшем для краткости будем обозначать термы и их сверхтонкие компоненты символами L и $L(F)$ соответственно, где L и F взяты из соответствующих стандартных обозначений. Рассмотрим ситуации, в которых ион из светлого состояния самопроизвольно переходит в темное, что приводит к возникновению ошибок считывания. Установление равновесия в системе после приложения лазерных полей можно рассмотреть в два этапа. Первый этап – взаимодействие с охлаждающим лазером, в результате которого практически вся населенность переносится на уровни $S(1)$ и $P(0)$ за время порядка $1/\Gamma_P$, где Γ_P – ширина уровня P . В главном порядке на данном этапе пренебрежем распадом в состояние D , который происходит с относительной вероятностью $\alpha_P = 0.5\%$, а также нерезонансными переходами. Это приближение справедливо, если параметр насыщения охлаждающего пучка сравним с единицей. Поскольку состояние $P(1)$ является единственным сверхтонким уровнем терма P , с которого разрешен переход в темное состояние $D(2)$, а его населенность на данном этапе сначала меняется от нуля до некоторого предельного значения, затем снова падает до нуля за счет распада в $S(1)$, существует конечная вероятность по окончании первого этапа оказаться в темном состоянии. Вероятности переходов между сверхтонкими уровнями $F \rightarrow F'$ выражаются через полную вероятность перехода $J \rightarrow J'$ по формуле [26]

$$\Gamma_{FF'} = (2F' + 1)(2J + 1) \left\{ \begin{matrix} J & F & I \\ F' & J' & 1 \end{matrix} \right\}^2 \Gamma_{JJ'}, \quad (1)$$

где $I = 1/2$ – спин ядра изотопа ${}^{171}\text{Yb}$. С учетом (1) вышеупомянутая вероятность представляется в виде

$$p_{bd} = \frac{5}{6} \alpha_P \Gamma_P \int_0^{+\infty} \rho_{P(1)}(t) dt, \quad (2)$$

где под $\rho_{L(F)}$ подразумевается населенность уровня $L(F)$. Для вычисления этого интеграла достаточно записать скоростное уравнение для суммарной населенности $S(0)$ и $P(1)$:

$$\dot{\rho}_{P(1)} + \dot{\rho}_{S(0)} = -\frac{2}{3} \Gamma_P \rho_{P(1)} \quad (3)$$

и проинтегрировать его по времени с учетом граничных условий $\rho_{P(1)}(0) = \rho_{P(1)}(+\infty) = \rho_{S(0)}(+\infty) = 0$, $\rho_{S(0)}(0) = 1$:

$$-1 = -\frac{2}{3} \Gamma_P \int_0^{+\infty} \rho_{P(1)}(t) dt, \quad (4)$$

отсюда

$$p_{bd} = \frac{5}{4} \alpha_P. \quad (5)$$

Второй этап – установление равновесия в циклической системе уровней $S(1)$, $P(0)$, $D(1)$ и $[3/2](0)$ с учетом перекачивающего излучения. Скоростные уравнения для этого случая имеют вид:

$$\dot{\rho}_{S(1)} = \Gamma_{UV} \left(\rho_{P(0)} - \frac{\rho_{S(1)}}{3} \right) + (1 - \alpha_P) \Gamma_P \rho_{P(0)} + (1 - \alpha_{[3/2]}) \Gamma_{[3/2]} \rho_{[3/2](0)}; \quad (6)$$

$$\dot{\rho}_{P(0)} = \Gamma_{UV} \left(\frac{\rho_{S(1)}}{3} - \rho_{P(0)} \right) - \Gamma_P \rho_{P(0)}; \quad (7)$$

$$\dot{\rho}_{D(1)} = \Gamma_{IR} \left(\rho_{[3/2](0)} - \frac{\rho_{D(1)}}{3} \right) + \alpha_P \Gamma_P \rho_{P(0)} + \alpha_{[3/2]} \Gamma_{[3/2]} \rho_{[3/2](0)}; \quad (8)$$

$$\dot{\rho}_{[3/2](0)} = \Gamma_{IR} \left(\frac{\rho_{D(1)}}{3} - \rho_{[3/2](0)} \right) - \Gamma_{[3/2]} \rho_{[3/2](0)}. \quad (9)$$

Коэффициенты $1/3$ учитывают статвеса состояний с $F = 1$. В данных уравнениях $\Gamma_{[3/2]}$ – ширина уровня $[3/2]$, $\alpha_{[3/2]} = 1.8\%$ – относительная вероятность перехода $[3/2] \rightarrow D$, а скорости накачки Γ_{UV} и Γ_{IR} определяются следующими формулами:

$$\Gamma_{UV} = \Gamma_P \frac{s_{UV}}{3} \frac{(\Gamma_P/2)^2}{(\Gamma_P/2)^2 + \delta_{UV}^2}, \quad (10)$$

$$\Gamma_{IR} = \alpha_{[3/2]} \Gamma_{[3/2]} \frac{s_{IR}}{3} \frac{(\Gamma_{[3/2]}/2)^2}{(\Gamma_{[3/2]}/2)^2 + \delta_{IR}^2}, \quad (11)$$

где s_{UV} , s_{IR} – параметры насыщения охлаждающего и перекачивающего пучков соответственно, δ_{UV} , δ_{IR} – их отстройки от центра линии. Коэффициенты $1/3$ учитывают равномерное распределение интенсивности лазерных полей по поляризациям. В равновесии при нулевых отстройках населенности уровней $S(1)$ и $D(1)$, в приближении $\alpha_P, \alpha_{[3/2]} \ll 1$, равны

$$\rho_{S(1)} = \frac{9 + 3s_{UV}}{9 + 4s_{UV} + \varepsilon}, \quad (12)$$

$$\rho_{D(1)} = \frac{\varepsilon}{9 + 4s_{UV} + \varepsilon}, \quad (13)$$

где ε – поправка на перекачивающее излучение, равная

$$\varepsilon = 9 \frac{\alpha_P}{\alpha_{[3/2]}} \frac{\Gamma_P}{\Gamma_{[3/2]}} \frac{s_{UV}}{s_{IR}}. \quad (14)$$

Потеря иона из основного цикла осуществляется через нерезонансно заселяющиеся состояния $P(1)$ и $[3/2](1)$, населенность которых можно получить из формул (10) и (11), подставив отстройки, равные сверхтонким расщеплениям соответствующих термов (Δ_P и $\Delta_{[3/2]}$), и воспользовавшись приближениями $\Delta_P \gg \Gamma_P$, $\Delta_{[3/2]} \gg \Gamma_{[3/2]}$:

$$\rho_{P(1)} = \rho_{S(1)} \frac{\Gamma_{UV}}{\Gamma_P} \left(\frac{\Gamma_P}{2\Delta_P} \right)^2, \quad (15)$$

$$\rho_{[3/2](1)} = \rho_{D(1)} \frac{\Gamma_{IR}}{\Gamma_{[3/2]}} \left(\frac{\Gamma_{[3/2]}}{2\Delta_{[3/2]}} \right)^2. \quad (16)$$

Скорость ухода из цикла тогда будет равна

$$\begin{aligned} \gamma_b &= \frac{5}{6} (\alpha_P \Gamma_P \rho_{P(1)} + \alpha_{[3/2]} \Gamma_{[3/2]} \rho_{[3/2](1)}) = \\ &= \frac{5}{6} \frac{\alpha_P \Gamma_P s_{UV}}{9 + 4s_{UV} + \varepsilon} \left[(3 + s_{UV}) \left(\frac{\Gamma_P}{2\Delta_P} \right)^2 + \right. \\ &\quad \left. + 3\alpha_{[3/2]} \left(\frac{\Gamma_{[3/2]}}{2\Delta_{[3/2]}} \right)^2 \right]. \end{aligned} \quad (17)$$

Теперь пусть ион изначально находится в темном состоянии $D(2)$. Существует два механизма ухода иона из него. Первый из них – нерезонансное возбуждение уровня $[3/2](1)$ с последующим уходом в основной цикл. Этот процесс происходит со скоростью

$$\Gamma_{IR} \left(\frac{\Gamma_{[3/2]}}{2(\Delta_{[3/2]} + \Delta_D)} \right)^2. \quad (18)$$

Второй механизм – прямой квадрупольный распад, происходящий со скоростью Γ_Q . Таким образом, для скорости распада темного состояния получаем

$$\gamma_d = \Gamma_Q + \frac{s_{IR}}{3} \alpha_{[3/2]} \Gamma_{[3/2]} \left(\frac{\Gamma_{[3/2]}}{2(\Delta_{[3/2]} + \Delta_D)} \right)^2. \quad (19)$$

Пусть полная эффективность сбора фотонов равна η , а время детектирования – τ_D . В модели экспоненциального распада состояния статистика фотонов для темного ($p_d(n)$) и светлого ($p_b(n)$) состояний была найдена в [22]. Модификация этой статистики с учетом (5) имеет вид:

$$\begin{aligned} p_d(n) &= e^{-\alpha_d \lambda_0} \left[\delta_n + \right. \\ &\quad \left. + \frac{\alpha_d}{(1 - \alpha_d)^{n+1}} I(n + 1, (1 - \alpha_d) \lambda_0) \right], \end{aligned} \quad (20)$$

$$\begin{aligned} p_b(n) &= \frac{5}{4} \alpha_P p_d(n) + \left(1 - \frac{5}{4} \alpha_P \right) \left[\frac{e^{-(1+\alpha_b)\lambda_0} \lambda_0^n}{n!} + \right. \\ &\quad \left. + \frac{\alpha_b}{(1 + \alpha_b)^{n+1}} I(n + 1, (1 + \alpha_b) \lambda_0) \right], \end{aligned} \quad (21)$$

где $\lambda_0 \propto \tau_D$ – среднее количество собранных фотонов на длине волны охлаждающего лазера для случая, когда ион все время τ_D находится в основном цикле, $\alpha_b = \gamma_b \tau_D / \lambda_0$, $\alpha_d = \gamma_d \tau_D / \lambda_0$, а функция I – нормализованная нижняя неполная гамма-функция, равная по определению

$$I(z, a) = \frac{1}{\Gamma(z)} \int_0^a t^{z-1} e^{-t} dt. \quad (22)$$

В присутствие засветки, статистика которой принимается пуассоновской со средним $\lambda_{DC} \propto \tau_D$, итоговая статистика будет представлять собой свертку:

$$p'_d(n) = \sum_{m=0}^n p_d(m) \frac{e^{-\lambda_{DC}} \lambda_{DC}^{n-m}}{(n-m)!}, \quad (23)$$

аналогичная формула верна и для светлого состояния. Для выражений (20) и (21) эта свертка принимает вид

$$\begin{aligned} p'_d(n) &= e^{-\alpha_d \lambda_0} \left[\frac{e^{-\lambda_{DC}} \lambda_{DC}^n}{n!} + \frac{\alpha_d e^{-\alpha_d \lambda_{DC}}}{(1 - \alpha_d)^{n+1}} \times \right. \\ &\quad \left. \times Q(n + 1, (1 - \alpha_d) \lambda_{DC}, (1 - \alpha_d)(\lambda_{DC} + \lambda_0)) \right], \end{aligned} \quad (24)$$

$$\begin{aligned} p'_b(n) &= \frac{5}{4} \alpha_P p'_d(n) + \\ &+ \left(1 - \frac{5}{4} \alpha_P \right) \left[\frac{e^{-(1+\alpha_b)\lambda_0 - \lambda_{DC}} (\lambda_{DC} + \lambda_0)^n}{n!} + \right. \\ &\quad \left. + \frac{\alpha_b e^{\alpha_b \lambda_{DC}}}{(1 + \alpha_b)^{n+1}} \times \right. \\ &\quad \left. \times Q(n + 1, (1 + \alpha_b) \lambda_{DC}, (1 + \alpha_b)(\lambda_{DC} + \lambda_0)) \right], \end{aligned} \quad (25)$$

где функция Q определяется как

$$Q(z, a, b) = \frac{1}{\Gamma(z)} \int_a^b t^{z-1} e^{-t} dt. \quad (26)$$

На практике для определения состояния иона, в котором он находился перед началом процесса детектирования, подсчитывается количество фотонов, зарегистрированных за время измерения τ_D , и сравнивается с дискриминатором – пороговым числом D собранных фотонов, выше которого состояние классифицируется как светлое, в противном случае – как темное. Тогда теоретическая достоверность корректной идентификации начального состояния кубита выражается формулой

$$F_d = \sum_{n=0}^D p'_d(n) \quad (27)$$

для темного состояния и

$$F_b = 1 - \sum_{n=0}^D p'_b(n) \quad (28)$$

для светлого. Окончательные выражения после подстановки (24) и (25) принимают вид

$$F_d = e^{-\alpha_d \lambda_0} \left[e^{\alpha_d \lambda_0} \tilde{Q}(D+1, \lambda_{DC} + \lambda_0) + \frac{e^{-\alpha_d \lambda_{DC}}}{(1 - \alpha_d)^{D+1}} \times \right. \\ \left. \times Q(D+1, (1 - \alpha_d) \lambda_{DC}, (1 - \alpha_d)(\lambda_{DC} + \lambda_0)) \right], \quad (29)$$

$$F_b = 1 - \frac{5}{4} \alpha_P F_d - \left(1 - \frac{5}{4} \alpha_P \right) \left[\tilde{Q}(D+1, \lambda_{DC}) - \frac{e^{\alpha_b \lambda_{DC}}}{(1 + \alpha_b)^{D+1}} \times \right. \\ \left. \times Q(D+1, (1 + \alpha_b) \lambda_{DC}, (1 + \alpha_b)(\lambda_{DC} + \lambda_0)) \right], \quad (30)$$

где

$$\tilde{Q}(z, a) = \frac{1}{\Gamma(z)} \int_a^{+\infty} t^{z-1} e^{-t} dt. \quad (31)$$

3. Численная оптимизация параметров считывания. Среднее число считанных фотонов за время τ_D пропорционально населенности уровня P_0 :

$$\lambda_0 = \eta \tau_D \Gamma_P \rho_{P(0)} = \eta \tau_D \Gamma_P \frac{s_{UV}}{9 + 4s_{UV} + \varepsilon}. \quad (32)$$

Отсюда находим α_b и α_d :

$$\alpha_b = \frac{5}{6} \frac{\alpha_P}{\eta} \left[(3 + s_{UV}) \left(\frac{\Gamma_P}{2\Delta_P} \right)^2 + 3\alpha_{[3/2]} \times \right. \\ \left. \times \left(\frac{\Gamma_{[3/2]}}{2\Delta_{[3/2]}} \right)^2 \right], \quad (33)$$

$$\alpha_d = \frac{9 + 4s_{UV} + \varepsilon}{\eta \Gamma_P s_{UV}} \left[\Gamma_Q + \frac{s_{IR}}{3} \alpha_{[3/2]} \Gamma_{[3/2]} \times \right. \\ \left. \times \left(\frac{\Gamma_{[3/2]}}{2(\Delta_{[3/2]} + \Delta_D)} \right)^2 \right]. \quad (34)$$

Засветку будем характеризовать коэффициентом засветки N , равным отношению λ_{DC}/λ_0 :

$$\lambda_{DC} = N \lambda_0. \quad (35)$$

Поскольку оба количества фотонов пропорциональны времени детектирования, N от него не зависит.

Численные значения атомных параметров:

$$\Gamma_P = 2\pi \cdot 19.6 \text{ МГц}, \quad \Gamma_{[3/2]} = 2\pi \cdot 4.2 \text{ МГц}; \\ \alpha_P = 0.5 \cdot 10^{-2}, \quad \alpha_{[3/2]} = 1.8 \cdot 10^{-2}; \\ \Delta_P = 2\pi \cdot 2.105 \text{ ГГц}, \quad \Delta_{[3/2]} = 2\pi \cdot 4.2 \text{ ГГц}; \\ \Gamma_Q = 2\pi \cdot 3.02 \text{ Гц}, \quad \Delta_D = 2\pi \cdot 0.86 \text{ ГГц}.$$

Для характерных значений параметров насыщения $s_{UV}, s_{IR} = 1$ и эффективности считывания $\eta = 10^{-3}$ выражения (33) и (34) равны соответственно

$$\alpha_b = 4 \cdot 10^{-4}, \quad \alpha_d = 4 \cdot 10^{-3}. \quad (36)$$

Результаты численной оптимизации, изложенной далее, слабо зависят от параметров насыщения (при условии, что они не слишком малы), поэтому в дальнейшем примем их значения постоянными и равными $s_{UV}, s_{IR} = 1$.

Общая достоверность считывания равна минимальной из двух достоверностей (29), (30) и достигает оптимального значения при их равенстве:

$$F_d = F_b. \quad (37)$$

Данное уравнение можно численно решить относительно τ_D при фиксированном D , а затем максимизировать F_d или F_b по D при оптимальном времени $\tau_D(D)$, либо, что то же самое, минимизировать ошибку $1 - F_{b(d)}$. Существование оптимального значения D при конечной засветке следует из рис. 2, на

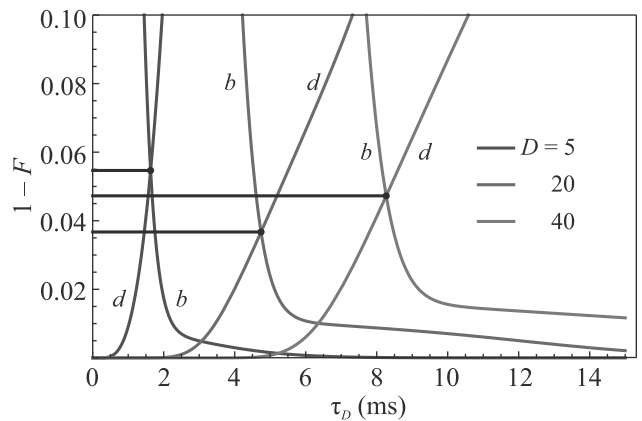


Рис. 2. (Цветной онлайн) Зависимость ошибки считывания от τ_D при различных значениях D . Буквы b и d указывают на графики для светлого и темного состояний соответственно. Точки пересечения графиков – оптимальные ошибки

котором видна немонотонная зависимость оптимальной (по τ_D) ошибки от D . При построении взяты следующие значения параметров: $\eta = 10^{-3}, N = 0.3$.

Таким образом можно для каждого η и N выбрать оптимальную пару (τ_D, D) и вычислить минимальную для данного набора параметров величину $1 - F$. Результаты оптимизации представлены на рис. 3–5.

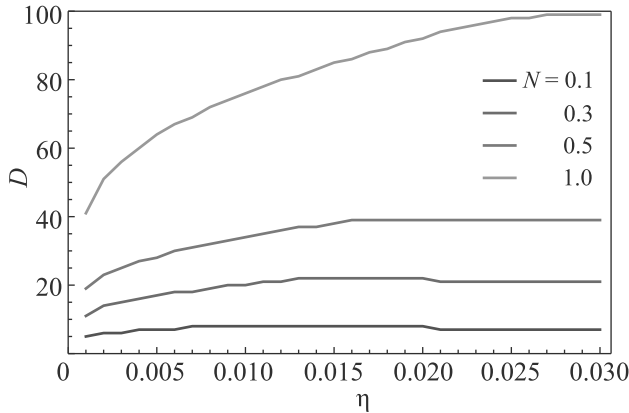


Рис. 3. (Цветной онлайн) Оптимальные значения порога дискриминатора

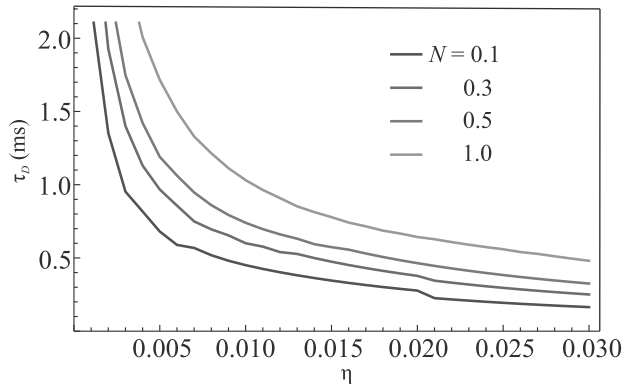


Рис. 4. (Цветной онлайн) Оптимальные значения времени детектирования

Из графиков на рис. 3, 4 следует особенность, заключающаяся в том, что при повышении η оптимальный порог дискриминатора выходит на постоянное значение, зависящее только от N , а время детектирования уменьшается таким образом, чтобы оно компенсировало увеличение η , и среднее количество собранных фотонов оставалось примерно постоянным. При увеличении уровня засветки монотонно увеличивается как порог дискриминатора, так и оптимальное время, что находится в согласии с тем рассуждением, что при увеличении λ_{DC} необходимо большее время детектирования, чтобы “разнести” пики распределения на уровнях λ_{DC} и $\lambda_{DC} + \lambda_0$ для темного и светлого состояний соответственно (см. слагаемые вида распределения Пуассона в формулах (24)

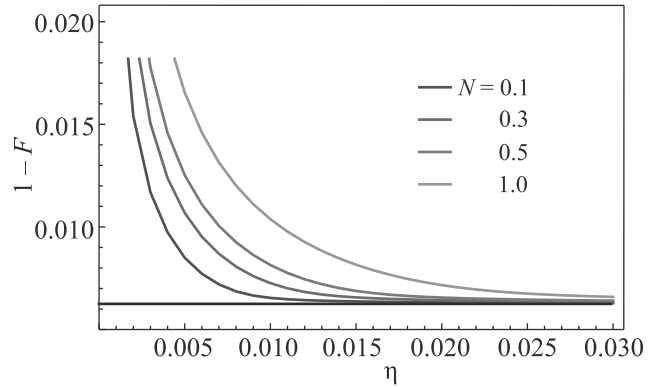


Рис. 5. (Цветной онлайн) Оптимальные значения ошибки детектирования. Пунктирной линией обозначен уровень $p_{bd} = 0.6\%$

и (25)), и, следовательно, больший порог дискриминатора.

Анализ графиков на рис. 5 позволяет указать на два момента. Первый – существование верхней границы оптимальной достоверности, соответствующей вероятности p_{bd} . Таким образом, при данной схеме считывания эта вероятность представляет собой фундаментальное ограничение. Второй момент – эта граница достигается достаточно быстро в терминах эффективности сбора в стандартных условиях засветки (при уровне засветки $N = 0.5$ и эффективности сбора $\eta = 1\%$ ошибка составляет 0.8% при граничном значении $p_{bd} = 0.6\%$). Однако и при больших засветках ошибка остается на уровне меньше процента, если эффективность сбора больше процента.

4. Заключение. В данной работе было проанализировано, что несмотря на небольшое естественное время жизни верхнего кубитного состояния и нерезонансные процессы, возможно достижение достоверности считывания оптического кубита на квадрупольном переходе в ионе иттербия больше 99% при разумных параметрах эксперимента. Было также показано, что при данной технике считывания, повсеместно используемой сегодня в оптических часах на этом переходе, а также в экспериментах по квантовым вычислениям на оптическом кубите, на начальном этапе процедуры происходит нежелательное накачивание светлого состояния в темное, что определяет предельную достижимую достоверность считывания в 99.4%. При необходимости дальнейшего увеличения достоверности эту проблему можно решить, например, переводя перед считыванием населенность из уровня $^2S_{1/2}(F = 0)$ в $^2S_{1/2}(F = 1)$ при помощи микроволнового импульса методом быстрого адиабатического прохода (rapid adiabatic passage), что не накладывает каких-либо серьезных требо-

ваний на стабильность частоты и амплитуды прикладываемого поля и не сильно усложняет установку. Также эти результаты могут использоваться для оценки достоверности считывания не только кубита, но и кудита на базе данного перехода.

Оптимизация и исследование зависимости достоверности от различных параметров эксперимента были выполнены А.С.Борисенко при финансовой поддержке Российского фонда фундаментальных исследований в рамках научного проекта # 20-32-90020. Разработка теоретической модели процедуры считывания была осуществлена остальными соавторами при финансовой поддержке Российского научного фонда в рамках гранта # 19-12-00274.

1. R. Lechner, C. Maier, C. Hempel, P. Jurcevic, B.P. Lanyon, T. Monz, M. Brownnutt, R. Blatt, and C.F. Roos, *Phys. Rev. A* **93**, 1 (2016).
2. L.A. Akopyan, I.V. Zalivako, K.E. Lakhmanskiy, K.Y. Khabarova, and N.N. Kolachevsky, *JETP Lett.* **112**, 585 (2020).
3. J.S. Chen, K. Wright, N.C. Pisenti, D. Murphy, K.M. Beck, K. Landsman, J.M. Amini, and Y. Nam, *Phys. Rev. A* **102**, 43110 (2020).
4. M.K. Joshi, A. Fabre, C. Maier, T. Brydges, D. Kiesenhofer, H. Hainzer, R. Blatt, and C.F. Roos, *New J. Phys.* **22**, 103013 (2020).
5. M. Niedermayr, K. Lakhmanskiy, M. Kumph, S. Partel, J. Edlinger, M. Brownnutt, and R. Blatt, *New J. Phys.* **16** (2014).
6. J.M. Pino, J.M. Dreiling, C. Figgatt, J.P. Gaebler, S.A. Moses, M.S. Allman, C.H. Baldwin, M. Foss-Feig, D. Hayes, K. Mayer, C. Ryan-Anderson, and B. Neyenhuis, *Nature* **592**, 209 (2021).
7. S.M. Brewer, J.S. Chen, A.M. Hankin, E.R. Clements, C.W. Chou, D.J. Wineland, D.B. Hume, and D.R. Leibbrandt, *Phys. Rev. Lett.* **123**, 1 (2019).
8. T. Rosenband, D.B. Hume, P.O. Schmidt et al. (Collaboration), *Science* **319**, 1808 (2008).
9. R. Lange, N. Huntemann, J.M. Rahm, C. Sanner, H. Shao, B. Lipphardt, C. Tamm, S. Weyers, and E. Peik, *Phys. Rev. Lett.* **126**, 11102 (2021).
10. V.A. Dzuba, V.V. Flambaum, M.S. Safronova, S.G. Porsev, T. Pruttivarasin, M.A. Hohensee, and H. Häffner, *Nat. Phys.* **12**, 465 (2016).
11. K. Wright, K.M. Beck, S. Debnath et al. (Collaboration), *Nat. Commun.* **10**, 1 (2019).
12. J. Zhang, G. Pagano, P.W. Hess, A. Kyprianidis, P. Becker, H. Kaplan, A.V. Gorshkov, Z.X. Gong, and C. Monroe, *Nature* **551**, 601 (2017).
13. I. Pogorelov, T. Feldker, C.D. Marciniak et al. (Collaboration), *PRX Quantum* **2**, 1 (2021).
14. P.D.D. Schwindt, Y.Y. Jau, H. Partner, A. Casias, A.R. Wagner, M. Moorman, R.P. Manginell, J.R. Kellogg, and J.D. Prestage, *Rev. Sci. Instrum.* **87**, 053112 (2016).
15. T. Schneider, E. Peik, and C. Tamm, *Phys. Rev. Lett.* **94**, 230801 (2005).
16. N. Huntemann, C. Sanner, B. Lipphardt, C. Tamm, and E. Peik, *Phys. Rev. Lett.* **116**, 063001 (2016).
17. I.A. Semerikov, K.Y. Khabarova, I.V. Zalivako, A.S. Borisenko, and N.N. Kolachevsky, *Bull. Lebedev Phys. Inst.* **45**, 337 (2018).
18. I.V. Zalivako, I.A. Semerikov, A.S. Borisenko, M.D. Aksenov, K.Y. Khabarova, and N.N. Kolachevsky, *JETP Lett.* **114**, 53 (2021).
19. B.I. Bantysh, A.Y. Chernyavskiy, and Y.I. Bogdanov, *JETP Lett.* **111**, 512 (2020).
20. T.P. Harty, D.T. Allcock, C.J. Ballance, L. Guidoni, H.A. Janacek, N.M. Linke, D.N. Stacey, and D.M. Lucas, *Phys. Rev. Lett.* **113**, 2 (2014).
21. J.P. Gaebler, C.H. Baldwin, S.A. Moses, J.M. Dreiling, C. Figgatt, M. Foss-Feig, D. Hayes, and J.M. Pino, *Suppression of mid-circuit measurement crosstalk errors with micromotion* (2021), URL <http://arxiv.org/abs/2108.10932>.
22. M. Acton, K.A. Brickman, P.C. Haljan, P.J. Lee, L. Deslauriers, and C. Monroe, *Quantum Information and Computation* **6**, 465 (2006).
23. P.J. Low, B.M. White, A.A. Cox, M.L. Day, and C. Senko, *Phys. Rev. Research* **2**, 033128 (2020).
24. S. Ejtemaee, R. Thomas, and P.C. Haljan, *Physical Review A – Atomic, Molecular, and Optical Physics* **82**, 1 (2010).
25. D.J. Berkeland and M.G. Boshier, *Physical Review A – Atomic, Molecular, and Optical Physics* **65**, 13 (2002).
26. I.I. Sobelman, *Atomic spectra and radiative transitions*, Springer Science & Business Media, Berlin (2012).